



Großwetterlage

Juni 2009

erstellt durch die Vorhersage- und Beratungszentrale, Offenbach
Ausgabe: 08.02.2016

Zonale Zirkulation

| | Nr. | GW zählt als | Jan. | Feb. | W | März | April | Mai | F | Juni | Juli | Aug. | S | Sept. | Okt. | Nov. | H | Dez. | Jahr | | | | |
|--------------------|-----|--------------------|----------|----------|----------|----------|----------|-----------|-----------|----------|----------|----------|----------|----------|----------|----------|----------|----------|-----------|---|---|---|---|
| Wa | 1 | a | - | - | | - | - | - | | - | - | - | | - | - | - | | - | | | | | |
| Wz | 2 | z | - | - | | - | - | 10 | | - | 5 | - | | - | - | - | | - | | - | - | - | - |
| Ws | 3 | z | 3 | - | | - | - | - | | - | - | - | | - | - | - | | - | | - | - | - | - |
| Ww | 4 | z | 6 | - | | - | - | - | | - | - | - | | - | - | - | | - | | - | - | - | - |
| W (GT) | | | 9 | 0 | 9 | 0 | 0 | 10 | 10 | 5 | 0 | 0 | 5 | 0 | 0 | 0 | 0 | 0 | 24 | | | | |
| zonale Zirkulation | | | 9 | 0 | 9 | 0 | 0 | 10 | 10 | 5 | 0 | 0 | 5 | 0 | 0 | 0 | 0 | 0 | 24 | | | | |

Gemischte Zirkulation

| | Nr. | GW zählt als | Jan. | Feb. | W | März | April | Mai | F | Juni | Juli | Aug. | S | Sept. | Okt. | Nov. | H | Dez. | Jahr |
|-----------------------|-----------|--------------------|-----------|----------|-----------|-----------|-----------|----------|-----------|----------|----------|----------|----------|----------|----------|----------|----------|----------|-----------|
| SWa | 5 | H+a | 4 | - | | - | - | - | | - | - | - | | - | - | - | | - | |
| SWz | 6 | z | - | - | | 3 | - | 3 | | - | 6 | - | | - | - | - | | - | |
| SW (GT) | | | 4 | 0 | 4 | 3 | 0 | 3 | 6 | 6 | 0 | 0 | 6 | 0 | 0 | 0 | 0 | 0 | 16 |
| NWa | 7 | a | - | - | | - | - | - | | - | - | - | | - | - | - | | - | |
| NWz | 8 | z | 4 | 3 | | 10 | - | - | | - | 3 | - | | - | - | - | | - | |
| NW (GT) | | | 4 | 3 | 7 | 10 | 0 | 0 | 10 | 3 | 0 | 0 | 3 | 0 | 0 | 0 | 0 | 0 | 20 |
| HM | 9 | H+a | 7 | - | | - | 7 | - | | - | - | - | | - | - | - | | - | |
| BM | 10 | H+a | 5 | - | | 7 | 12 | 6 | | - | - | - | | - | - | - | | - | |
| HM (GT) | | | 12 | 0 | 12 | 7 | 19 | 6 | 32 | 0 | 0 | 0 | 0 | 0 | 0 | 0 | 0 | 0 | 44 |
| TM (GT) | 11 | T+z | - | - | 0 | - | - | - | 0 | - | - | - | 0 | - | - | - | 0 | - | 0 |
| gemischte Zirkulation | | | 20 | 3 | 23 | 20 | 19 | 9 | 48 | 9 | 0 | 0 | 9 | 0 | 0 | 0 | 0 | 0 | 80 |

Meridiane Zirkulation

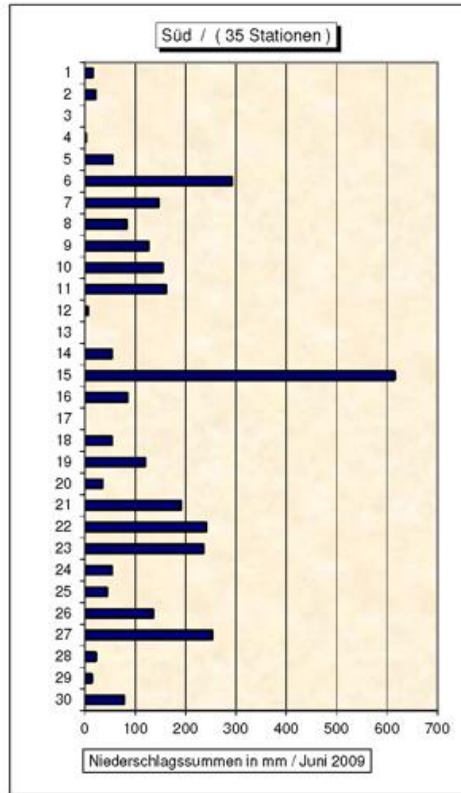
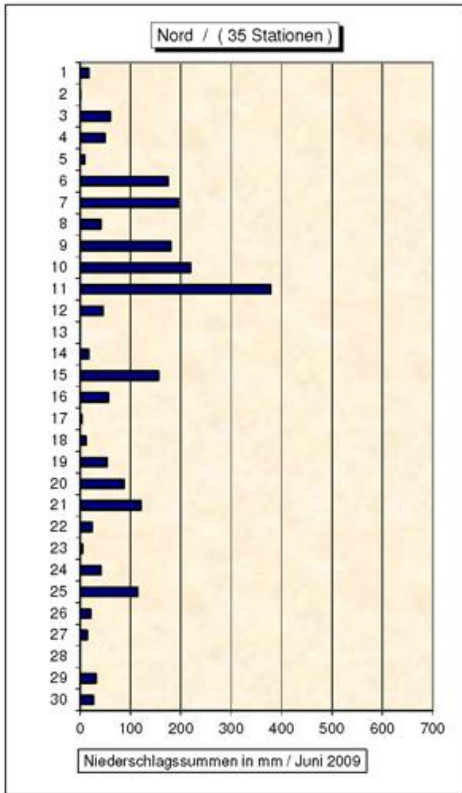
| | Nr. | GW zählt als | Jan. | Feb. | W | März | April | Mai | F | Juni | Juli | Aug. | S | Sept. | Okt. | Nov. | H | Dez. | Jahr | | | | |
|------------------------------|-----|--------------------|----------|-----------|-----------|-----------|-----------|-----------|-----------|-----------|----------|----------|-----------|----------|----------|----------|----------|----------|-----------|----------|----------|---|----------|
| Na | 12 | a | - | - | 16 | 3 | - | - | 11 | - | - | - | 6 | - | - | - | 0 | - | 0 | | | | |
| Nz | 13 | z | - | 5 | | - | - | - | | 3 | - | - | | - | - | - | | - | | - | - | - | - |
| HNa | 14 | a | - | - | | - | - | - | | - | - | - | | - | - | - | | - | | - | - | - | - |
| HNz | 15 | T+z | - | - | | - | 3 | 5 | | - | - | - | | - | - | - | | - | | - | - | - | - |
| HB | 16 | a | - | 7 | | - | - | - | | - | - | - | | - | - | - | | - | | - | - | - | - |
| TrM | 17 | T+z | - | 4 | | - | - | - | | - | 3 | - | | - | - | - | | - | | - | - | - | - |
| N (GT) | | | 0 | 16 | | | 3 | 3 | | 5 | | 6 | | 0 | 0 | | | 0 | | 0 | 0 | | 0 |
| NEa | 18 | H+a | - | - | 16 | - | - | 3 | 11 | 2 | - | - | 6 | - | - | - | 0 | - | 0 | | | | |
| NEz | 19 | T+z | - | - | | - | - | - | | - | - | - | | - | - | - | | - | | - | - | - | - |
| HFa | 20 | H+a | 2 | 2 | | - | - | - | | - | - | - | | - | - | - | | - | | - | - | - | - |
| HFz | 21 | T+z | - | - | | - | - | - | | - | - | - | | - | - | - | | - | | - | - | - | - |
| HNFa | 22 | H+a | - | - | | - | - | - | | - | - | - | | - | - | - | | - | | - | - | - | - |
| HNFz | 23 | T+z | - | - | | - | - | - | | - | 8 | - | | - | - | - | | - | | - | - | - | - |
| SEa | 24 | H+a | - | - | | - | - | - | | - | - | - | | - | - | - | | - | | - | - | - | - |
| SEz | 25 | T+z | - | - | | 3 | - | - | | - | - | - | | - | - | - | | - | | - | - | - | - |
| E (GT) | | | 2 | 2 | 4 | 3 | 0 | 3 | 6 | 10 | 0 | 0 | 10 | 0 | 0 | 0 | 0 | 0 | 20 | | | | |
| Sa | 26 | H+a | - | - | 16 | - | - | - | 11 | - | - | - | 6 | - | - | - | 0 | - | 0 | | | | |
| Sz | 27 | z | - | - | | - | - | - | | - | - | - | | - | - | - | | - | | - | - | - | - |
| TB | 28 | z | - | - | | - | - | 4 | | - | - | - | | - | - | - | | - | | - | - | - | - |
| TrW | 29 | z | - | 6 | | 4 | 8 | - | | - | - | - | | - | - | - | | - | | - | - | - | - |
| S (GT) | | | 0 | 6 | 6 | 4 | 8 | 4 | 16 | 0 | 0 | 0 | 0 | 0 | 0 | 0 | 0 | 0 | 22 | | | | |
| meridiane Zirkulation | | | 2 | 24 | 26 | 10 | 11 | 12 | 33 | 16 | 0 | 0 | 16 | 0 | 0 | 0 | 0 | 0 | 75 | | | | |

Summe

| | Nr. | GW zählt als | Jan. | Feb. | W | März | April | Mai | F | Juni | Juli | Aug. | S | Sept. | Okt. | Nov. | H | Dez. | Jahr |
|----------------------------|-----|--------------------|------|------|----|------|-------|-----|----|------|------|------|----|-------|------|------|---|------|------|
| Übergangs - lage (Tage) | | | - | 1 | 1 | 1 | - | - | 1 | - | - | - | 0 | - | - | - | 0 | - | 2 |
| Σ a | | | 18 | 9 | 27 | 10 | 19 | 9 | 38 | 2 | 0 | 0 | 2 | 0 | 0 | 0 | 0 | 0 | 67 |
| Σ z | | | 13 | 18 | 31 | 20 | 11 | 22 | 53 | 28 | 0 | 0 | 28 | 0 | 0 | 0 | 0 | 0 | 112 |
| Σ H | | | 18 | 2 | 20 | 7 | 19 | 9 | 35 | 2 | 0 | 0 | 2 | 0 | 0 | 0 | 0 | 0 | 57 |
| Σ T | | | 0 | 4 | 4 | 3 | 3 | 5 | 11 | 11 | 0 | 0 | 11 | 0 | 0 | 0 | 0 | 0 | 26 |

| GWL 2009 | GWL nach Hess & Brezowsky | Kurzbeschreibung |
|--------------------------|---------------------------|--|
| Montag, den 01. Juni | NEA | Im Osten ist es zeitweise unbeständig, dort macht sich der Einfluss eines osteuropäischen Kaltlufttropfenförmigen Tiefs bemerkbar, insgesamt überwiegt aber leicht der antizyklonale Einfluss. |
| Dienstag, den 02. Juni | NEA | |
| Mittwoch, den 03. Juni | NZ | Der westeuropäische Höhenrücken zieht sich zum Atlantik zurück und macht den Weg frei für einen vom Nordmeer nach Süden vorstoßenden Höhentrog. Auf der Westflanke eines kräftigen Tiefs über Nordosteuropa wird polare Kaltluft nach Mitteleuropa gelenkt. Es überwiegt leicht der zyklonale Einfluss. |
| Donnerstag, den 04. Juni | NZ | |
| Freitag, den 05. Juni | NZ | |
| Samstag, den 06. Juni | SWZ | Der zuvor wetterbestimmende Trog schwenkt ostwärts nach Russland. Mitteleuropa gerät zunehmend auf die Vorderseite eines ostatlantischen Höhentrog, der sich an Westeuropa annähert. Stromab stellt sich über Mitteleuropa eine markante südwestliche Höhenströmung ein. Durchziehende Tiefdruckgebiete gestalten den Wetterablauf sehr wechselhaft. |
| Sonntag, den 07. Juni | SWZ | |
| Montag, den 08. Juni | SWZ | |
| Dienstag, den 09. Juni | SWZ | |
| Mittwoch, den 10. Juni | SWZ | |
| Donnerstag, den 11. Juni | SWZ | |
| Freitag, den 12. Juni | NWZ | Innerhalb der über Mitteleuropa hinweg verlaufenden Frontalzone, schwenkt der zuvor dominante westeuropäische Trog durch und die Strömung dreht auf eine nordwestliche Richtung. Auf der Rückseite des abgezogenen Sturmtiefs strömt kühle Meeresluft ein, die aber zeitweise unter Absinken gerät. |
| Samstag, den 13. Juni | NWZ | |
| Sonntag, den 14. Juni | NWZ | |
| Montag, den 15. Juni | WZ | Der osteuropäische Höhentrog zieht weiter ostwärts ab und die Höhenströmung über Mitteleuropa zonalisiert sich. Es ziehen immer wieder kurze Wellen durch, wobei insgesamt der zyklonale Einfluss überwiegt. |
| Dienstag, den 16. Juni | WZ | |
| Mittwoch, den 17. Juni | WZ | |
| Donnerstag, den 18. Juni | WZ | |
| Freitag, den 19. Juni | WZ | |
| Samstag, den 20. Juni | TRM | Vom Atlantik schwenkt ein sich intensivierender Höhentrog heran, der sich über Mitteleuropa etabliert. Er stößt bis zum Mittelmeer vor. Dadurch schließt sich ein weiterer unbeständiger Witterungsabschnitt an, die Temperaturen gehen zurück. |
| Sonntag, den 21. Juni | TRM | |
| Montag, den 22. Juni | TRM | |
| Dienstag, den 23. Juni | HNfZ | Aus dem mitteleuropäischen Höhentrog tropft zum südöstlichen Europa hin ein Höhentief ab, von Westen her schiebt sich ein Höhenrücken nach Skandinavien vor und es entsteht dort ein umfangreiches Hochzentrum. Am Boden bildet sich zunehmend eine Antizyklone über dem Nordmeer und Fennoskandien aus. Mitteleuropa gelangt dabei mehr und mehr in den Zustrom von feuchten und labil geschichteten Luftmassen aus Osteuropa. Es kommt zu Regenfällen und zu Gewittern mit ergiebigen Niederschlägen. Insgesamt überwiegt deutlich der zyklonale Einfluss. |
| Mittwoch, den 24. Juni | HNfZ | |
| Donnerstag, den 25. Juni | HNfZ | |
| Freitag, den 26. Juni | HNfZ | |
| Samstag, den 27. Juni | HNfZ | |
| Sonntag, den 28. Juni | HNfZ | |
| Montag, den 29. Juni | HNfZ | |
| Dienstag, den 30. Juni | HNfZ | |

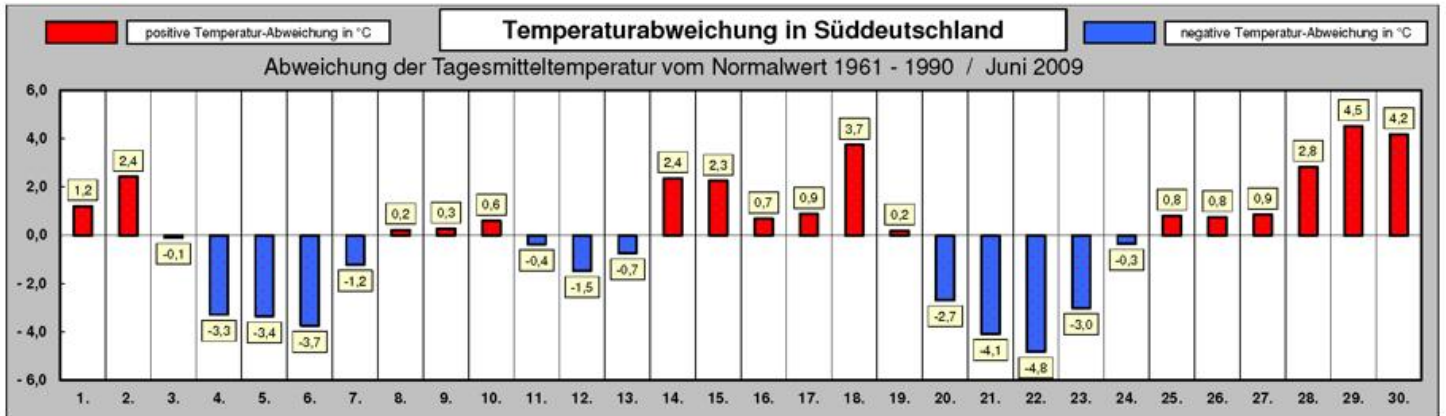
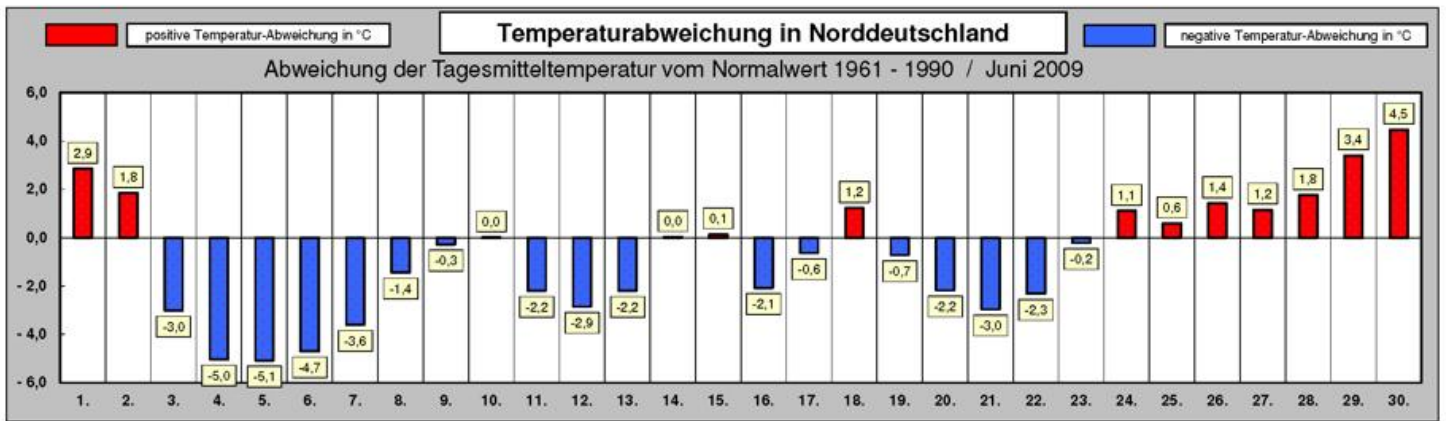
| Legende zur Großwetterlagen-Tabelle | | | |
|-------------------------------------|-------------|--|----------------|
| Nummer | Abkürzung | Großwetterlage | Farbe |
| 1 | Wa | Westlage, Mitteleuropa überwiegend antizyklonal | Hellgrün |
| 2 | Wz | Westlage, Mitteleuropa überwiegend zyklonal | Grelles Grün |
| 3 | WS | Südliche Westlage | Meeresgrün |
| 4 | WW | Winkelförmige Westlage | Grün |
| 5 | SWa | Südwestlage, Mitteleuropa überwiegend antizyklonal | Hellorange |
| 6 | SWz | Südwestlage, Mitteleuropa überwiegend zyklonal | Orange |
| 7 | NWa | Nordwestlage, Mitteleuropa überwiegend antizyklonal | Türkis |
| 8 | NWz | Nordwestlage, Mitteleuropa überwiegend zyklonal | Blaugrün |
| 9 | HM | Hoch Mitteleuropa | Weiß |
| 10 | BM | Hochdruckbrücke Mitteleuropa | Hellgrau 25% |
| 11 | TM | Tief Mitteleuropa | Grau 50% |
| 12 | Na | Nordlage, Mitteleuropa überwiegend antizyklonal | Blassblau |
| 13 | Nz | Nordlage, Mitteleuropa überwiegend zyklonal | Blau |
| 14 | HNa | Hoch Nordmeer-Inland, Mitteleuropa überwiegend antizyklonal | Himmelblau |
| 15 | HNz | Hoch Nordmeer-Inland, Mitteleuropa überwiegend zyklonal | Blaugrau |
| 16 | HB | Hoch Britische Inseln | Helltürkis |
| 17 | TrM | Trog Mitteleuropa | Dunkelgrau 80% |
| 18 | NEa | Nordostlage, Mitteleuropa überwiegend antizyklonal | Lavendel |
| 19 | NEz | Nordostlage, Mitteleuropa überwiegend zyklonal | Pflaume |
| 20 | HFa | Hoch Fennoskandien, Mitteleuropa überwiegend antizyklonal | Hellrosa |
| 21 | HFz | Hoch Fennoskandien, Mitteleuropa überwiegend zyklonal | Rosa |
| 22 | HNFa | Hoch Nordmeer-Fennoskandien, Mitteleuropa überwiegend antizyklonal | Hellgelb |
| 23 | HNFz | Hoch Nordmeer-Fennoskandien, Mitteleuropa überwiegend zyklonal | Dunkelgelb |
| 24 | SEa | Südostlage, Mitteleuropa überwiegend antizyklonal | Gelb |
| 25 | SEz | Südostlage, Mitteleuropa überwiegend zyklonal | Gold |
| 26 | Sa | Südlage, Mitteleuropa überwiegend antizyklonal | Gelbbraun |
| 27 | Sz | Südlage, Mitteleuropa überwiegend zyklonal | Rot |
| 28 | TB | Tief Britische Inseln | Braun |
| 29 | TrW | Trog Westeuropa | Dunkelrot |
| 30 | Ü | Übergangslage / Unbestimmt | Grau 40% |



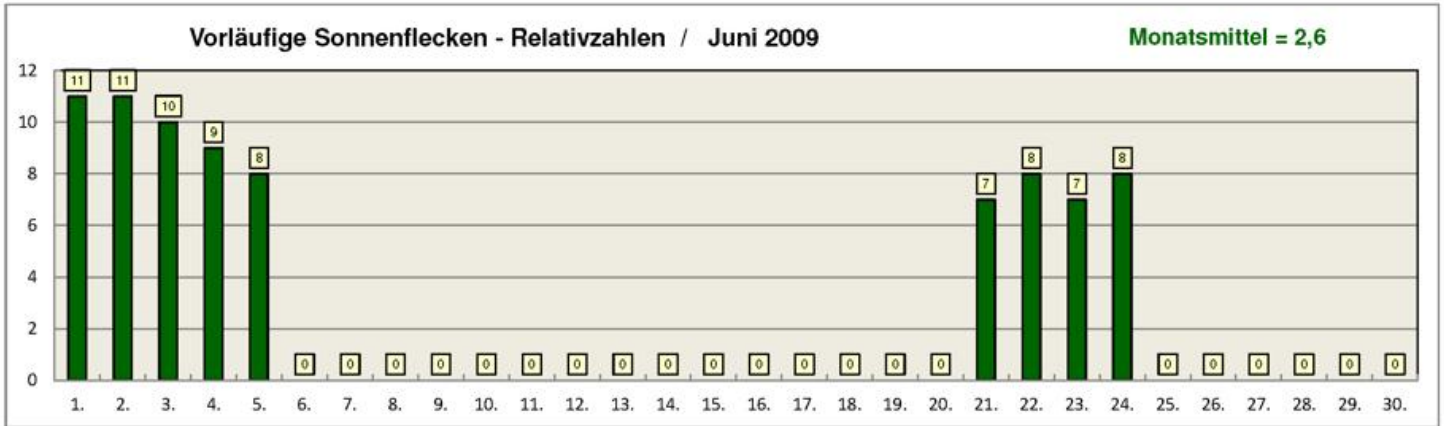
| Tag | Nord | Süd |
|-----|------|-----|
| 1. | 6 | 13 |
| 2. | 1 | 8 |
| 3. | 17 | 2 |
| 4. | 26 | 3 |
| 5. | 10 | 25 |
| 6. | 28 | 35 |
| 7. | 32 | 32 |
| 8. | 28 | 28 |
| 9. | 35 | 32 |
| 10. | 29 | 35 |
| 11. | 35 | 34 |
| 12. | 23 | 7 |
| 13. | 0 | 0 |
| 14. | 19 | 23 |
| 15. | 20 | 35 |
| 16. | 12 | 29 |
| 17. | 12 | 0 |
| 18. | 17 | 16 |
| 19. | 23 | 21 |
| 20. | 29 | 16 |
| 21. | 29 | 34 |
| 22. | 7 | 30 |
| 23. | 2 | 18 |
| 24. | 6 | 13 |
| 25. | 26 | 17 |
| 26. | 7 | 22 |
| 27. | 14 | 32 |
| 28. | 2 | 7 |
| 29. | 10 | 5 |
| 30. | 7 | 13 |

Anzahl der Stationen mit Niederschlag

Temperaturabweichung in Deutschland



Witterungsverlauf : Sonnenflecken und Zyklonalindex



| Stationen | Temperatur | Abweichung | Niederschlag | Abweichung | Sonnenschein | Abweichung | Luftdruck | Abweichung |
|------------------------|------------|------------|--------------|------------|---------------|------------|------------|------------|
| 10035 Schleswig | 13,8 °C | - 0,8 °C | 81,6 mm | 114,8 % | 248,5 Stunden | 107,8 % | 1016,0 hPA | + 0,9 hPA |
| 10113 Norderney | 14,4 °C | + 0,0 °C | 32,1 mm | 51,2 % | 289,4 Stunden | 129,4 % | 1016,6 hPA | + 1,1 hPA |
| 10147 Hamburg | 14,4 °C | - 1,2 °C | 54,3 mm | 73,0 % | 201,8 Stunden | 91,0 % | 1015,8 hPA | + 0,5 hPA |
| 10170 Rostock | 14,3 °C | - 0,7 °C | 75,5 mm | 128,0 % | 232,4 Stunden | 93,9 % | 1015,2 hPA | + 0,2 hPA |
| 10338 Hannover | 15,1 °C | - 0,7 °C | 50,0 mm | 68,7 % | 194,4 Stunden | 93,5 % | 1015,8 hPA | + 0,1 hPA |
| 10379 Potsdam | 15,3 °C | - 1,3 °C | 68,0 mm | 98,3 % | 190,8 Stunden | 82,6 % | 1014,8 hPA | - 0,6 hPA |
| 10410 Essen | 15,6 °C | - 0,1 °C | 72,6 mm | 75,0 % | 184,8 Stunden | 101,8 % | 1016,3 hPA | + 0,1 hPA |
| 10438 Kassel | 14,9 °C | - 0,7 °C | 52,5 mm | 66,5 % | 165,6 Stunden | 87,0 % | 1015,9 hPA | + 0,2 hPA |
| 10453 Brocken | 7,8 °C | - 1,0 °C | 107,4 mm | 76,7 % | 123,2 Stunden | 73,4 % | 1016,1 hPA | + 0,4 hPA |
| 10469 Leipzig | 15,2 °C | - 1,4 °C | 53,2 mm | 79,6 % | 159,5 Stunden | 82,6 % | 1015,3 hPA | - 0,3 hPA |
| 10496 Cottbus | 15,8 °C | - 1,1 °C | 66,6 mm | 102,9 % | 151,7 Stunden | 67,5 % | 1014,4 hPA | - 0,8 hPA |
| 10567 Gera | 14,2 °C | - 0,9 °C | 67,7 mm | 97,4 % | 148,1 Stunden | 74,5 % | 1015,5 hPA | - 0,6 hPA |
| 10609 Trier | 16,0 °C | + 0,3 °C | 110,8 mm | 151,0 % | 211,9 Stunden | 102,7 % | 1016,3 hPA | + 0,5 hPA |
| 10637 Frankfurt (Main) | 17,2 °C | + 0,1 °C | 86,2 mm | 122,8 % | 217,8 Stunden | 104,0 % | 1015,9 hPA | + 0,3 hPA |
| 10739 Stuttgart | 16,9 °C | + 0,5 °C | 51,6 mm | 55,4 % | 240,6 Stunden | 114,4 % | 1015,7 hPA | - 0,4 hPA |
| 10763 Nürnberg | 16,0 °C | - 0,6 °C | 69,7 mm | 93,4 % | 213,3 Stunden | 96,6 % | 1015,4 hPA | - 0,2 hPA |
| 10803 Freiburg | 17,4 °C | + 1,0 °C | 73,0 mm | 62,4 % | 219,5 Stunden | 98,3 % | 1016,0 hPA | + 0,1 hPA |
| 10870 München | 16,1 °C | + 0,7 °C | 165,4 mm | 151,5 % | 196,6 Stunden | 93,9 % | 1015,2 hPA | - 0,8 hPA |
| 10895 Passau | 15,2 °C | + 0,0 °C | 146,9 mm | 165,6 % | 178,7 Stunden | 82,8 % | 1014,8 hPA | - 0,5 hPA |
| 10961 Zugspitze | 0,1 °C | + 0,2 °C | 231,8 mm | 125,2 % | 102,2 Stunden | 66,8 % | 1015,8 hPA | - 0,2 hPA |

* Bei allen Abweichungswerten wird der aktuelle Monatsmittelwert dem 30-jährigen Mittelwert (climat-Wert) aus dem Zeitraum 1961 bis 1990 gegenüber gestellt !

| Stationen | Temperatur | Abweichung | Niederschlag | Abweichung | Sonnenschein | Abweichung | Luftdruck | Abweichung | |
|-----------|------------------|------------|--------------|------------|--------------|---------------|-----------|------------|-----------|
| 01026 | Tromsö | 8,3 °C | - 1,0 °C | 62,0 mm | 117,0 % | 264,0 Stunden | 119,5 % | 1017,1 hPA | + 4,5 hPA |
| 02935 | Jyväskylä | 13,0 °C | - 1,1 °C | 52,0 mm | 92,9 % | 259,0 Stunden | 96,4 % | 1013,4 hPA | + 1,8 hPA |
| 03005 | Lerwick | 10,8 °C | + 0,8 °C | 40,0 mm | 64,5 % | 240,0 Stunden | 158,9 % | 1018,7 hPA | + 5,1 hPA |
| 03091 | Aberdeen | 12,3 °C | + 0,2 °C | 72,0 mm | 135,8 % | 138,0 Stunden | 79,8 % | 1018,6 hPA | + 4,0 hPA |
| 03772 | London | 17,3 °C | + 1,6 °C | 34,0 mm | 66,7 % | 193,0 Stunden | 97,0 % | 1017,3 hPA | + 0,3 hPA |
| 04030 | Reykjavik | 10,1 °C | + 1,1 °C | 29,0 mm | 58,0 % | 164,0 Stunden | 101,7 % | 1018,7 hPA | + 8,6 hPA |
| 06260 | De Bilt | 15,6 °C | + 0,4 °C | 53,0 mm | 77,6 % | 232,0 Stunden | 120,8 % | 1016,8 hPA | + 0,8 hPA |
| 06447 | Brüssel | 16,5 °C | + 0,8 °C | 65,0 mm | 82,3 % | 225,0 Stunden | 121,4 % | 1016,6 hPA | + 0,4 hPA |
| 06590 | Luxemburg | 16,0 °C | + 1,1 °C | 89,0 mm | 108,5 % | 266,0 Stunden | 126,7 % | 1016,3 hPA | + 0,1 hPA |
| 06700 | Genf | 18,3 °C | + 1,8 °C | 92,0 mm | 103,4 % | 258,0 Stunden | 121,7 % | 1015,2 hPA | - 0,9 hPA |
| 06770 | Lugano | 20,6 °C | + 2,3 °C | 108,0 mm | 63,2 % | 246,0 Stunden | 114,4 % | 1012,6 hPA | - 2,3 hPA |
| 07149 | Paris | 17,6 °C | + 0,9 °C | 57,0 mm | 111,8 % | 247,0 Stunden | 112,8 % | 1016,9 hPA | + 0,0 hPA |
| 07222 | Nantes | 18,4 °C | + 1,5 °C | 40,0 mm | 88,9 % | 274,0 Stunden | 114,2 % | 1016,8 hPA | - 0,8 hPA |
| 07690 | Nizza | 21,8 °C | + 1,9 °C | 15,0 mm | 41,7 % | 319,0 Stunden | 107,8 % | 1013,1 hPA | - 2,0 hPA |
| 08221 | Madrid | 23,8 °C | + 3,4 °C | 14,0 mm | 53,8 % | 284,0 Stunden | 95,9 % | 1012,8 hPA | - 3,6 hPA |
| 08509 | Azoren (Lajes) | 18,2 °C | + 0,0 °C | 44,0 mm | 88,0 % | 196,0 Stunden | 96,6 % | 1018,4 hPA | - 5,9 hPA |
| 08535 | Lissabon | 21,8 °C | + 1,6 °C | 59,0 mm | 281,0 % | 296,0 Stunden | 98,0 % | 1015,9 hPA | - 8,3 hPA |
| 11035 | Wien | 18,2 °C | + 0,3 °C | 142,0 mm | 191,9 % | 192,0 Stunden | 81,0 % | 1013,2 hPA | - 1,6 hPA |
| 11150 | Salzburg | 16,0 °C | - 0,4 °C | 343,0 mm | 224,2 % | 119,0 Stunden | 59,2 % | 1015,4 hPA | - 1,0 hPA |
| 11518 | Prag | 15,1 °C | - 0,8 °C | 90,0 mm | 123,3 % | 166,0 Stunden | 79,4 % | 1014,8 hPA | - 0,6 hPA |
| 12205 | Stettin | 15,1 °C | - 1,2 °C | 65,0 mm | 114,0 % | 205,0 Stunden | 94,9 % | 1014,2 hPA | - 0,6 hPA |
| 12375 | Warschau | 16,2 °C | - 0,4 °C | 149,0 mm | 206,9 % | 282,0 Stunden | 84,9 % | 1013,0 hPA | - 1,4 hPA |
| 12843 | Budapest | 19,0 °C | - 0,1 °C | 103,0 mm | 163,5 % | 241,0 Stunden | 99,2 % | 1013,5 hPA | - 0,4 hPA |
| 13274 | Belgrad | 20,7 °C | + 0,6 °C | 151,0 mm | 167,8 % | 232,0 Stunden | 94,7 % | 1013,1 hPA | - 1,3 hPA |
| 15420 | Bukarest | 20,8 °C | + 0,6 °C | 87,0 mm | 113,0 % | 268,0 Stunden | 100,8 % | 1013,4 hPA | + 0,2 hPA |
| 15614 | Sofia | 19,2 °C | + 1,5 °C | 49,0 mm | 68,1 % | 262,0 Stunden | 111,5 % | 1012,6 hPA | - 1,9 hPA |
| 16597 | Malta (Luqa) | 23,7 °C | + 0,7 °C | 1,0 mm | 33,3 % | 350,0 Stunden | 106,7 % | 1014,8 hPA | - 1,0 hPA |
| 16714 | Athen | 26,4 °C | + 1,8 °C | 0,0 mm | 0,0 % | 366,0 Stunden | 106,7 % | 1012,5 hPA | + 0,0 hPA |
| 17116 | Bursa | 23,6 °C | + 1,7 °C | 9,0 mm | 30,0 % | 313,0 Stunden | 102,6 % | 1012,3 hPA | - 0,6 hPA |
| 22550 | Archangelsk | 12,9 °C | + 0,3 °C | 48,0 mm | 88,9 % | 315,0 Stunden | 106,1 % | 1014,6 hPA | + 2,7 hPA |
| 27595 | Kasan | 19,9 °C | + 2,5 °C | 40,0 mm | 57,1 % | 348,0 Stunden | 118,8 % | 1017,2 hPA | + 5,6 hPA |
| 34300 | Charkow | 21,9 °C | + 3,0 °C | 44,0 mm | 75,9 % | 350,0 Stunden | 133,1 % | 1014,9 hPA | + 2,4 hPA |